

问题求解（三）第 1 周作业

黄奕诚 161220049

2017 年 9 月 6 日

TC Chapter 24

Exercise 24.1-2

Proof. 由条件知“图 G 不包含从 s 可以到达的权重为负值的环路”，故对于 s 与 V 中除去 s 外的任意一顶点 v ，都存在 $\delta(s, v)$ 。在初始化后 $v.d = \infty$ 随后通过 RELAX 操作，只有当 $v.d > u.d + \omega(u, v)$ 时， $v.d$ 会减少 (不再为 ∞)，与此同时有 $v.\pi = u$ ，于是 v 具有前驱结点。因此若存在 s 到 v 的路径，则 v 必然执行过 RELAX，因此有 $v.d < \infty$ 。 \square

Exercise 24.1-3

为方便起见，在改变 BELLMAN-FORD 算法的同时，微改 RELAX 算法，使其可以返回一个“ $v.d$ 是否改变”的 *bool* 值。

Algorithm 1 RELAX(u, v, w)

```
1: if  $v.d > u.d + \omega(u, v)$  then
2:    $v.d = u.d + \omega(u, v)$ 
3:    $v.\pi = u$ 
4:   return true
5: end if
6: return false
```

Algorithm 2 BELLMAN-FORDE(G, ω, s)

```
1: INITIALIZE-SINGLE-SOURCE( $G, s$ )
2: for  $i = 1$  to  $|G.V| - 1$  do
3:    $flag = \text{false}$ 
4:   for each  $\text{edge}(u, v) \in G.E$  do
5:     if RELAX( $u, v, w$ ) == true and  $flag == \text{false}$  then
6:        $flag = \text{true}$ 
7:     end if
8:   end for
9:   if  $flag == \text{false}$  then
10:    return true
11:   end if
12: end for
13: for each  $\text{edge}(u, v) \in G.E$  do
14:   if  $v.d > u.d + \omega(u, v)$  then
15:     return false
16:   end if
17: end for
```

Exercise 24.1-4

只需要将第 7 行换为 $v.d = -\infty$ 即可，并且算法返回的值仍符合原先的要求。算法如下：

Algorithm 3 BELLMAN-FORD(G, ω, s)

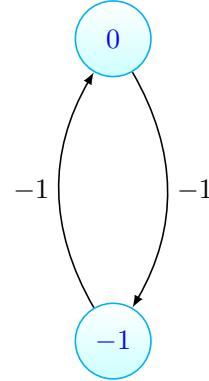
```

1: INITIALIZE0SINGLE-SOURCE( $G, s$ )
2: for  $i = 1$  to  $|G.V| - 1$  do
3:   for each edge  $(u, v) \in G.E$  do
4:     RELAX( $u, v, \omega$ )
5:   end for
6: end for
7:  $flag = \text{true}$ 
8: for each edge  $(u, v) \in G.E$  do
9:   if  $v.d > u.d + \omega(u, v)$  then
10:     $v.d = -\infty$ 
11:     $flag = \text{false}$ 
12:   end if
13: end for
14: return  $flag$ 

```

Exercise 24.2-2

Proof. 对于拓扑排序中最后一个结点 u ，假设其有后继结点，则与拓扑排序矛盾，因此不存在 $v \in G.Adj[u]$ ，因此算法第 4、5 行不会被执行。因此，改变后的算法仍然正确，与原算法等效。 \square

Exercise 24.3-2

根据 DIJKSTRA 算法，得到的下方结点的 d 值为 -1，而实际上应该为 $-\infty$ ，因此得到了不正确的结果。

Proof. 定理 24.6 的证明不成立的关键在于：不能满足 $\delta(s, y) \leq \delta(s, u)$ \square

Exercise 24.3-4**Algorithm 4** CHECK-OUTPUT(G, ω, s)

```

1:  $G' = G$ 
2: DAG-SHORTEST-PATHS( $G', \omega, s$ )
3: topologically sort the vertices of  $G$ 
4: for each vertex  $v_1$  in  $G$ ,  $v_2$  in  $G'$ , taken in
   topologically sorted order do
5:   if  $v_1.\pi \neq v_2.\pi$  or  $v_1.d \neq v_2.d$  then
6:     return false
7:   end if
8: end for
9: return true

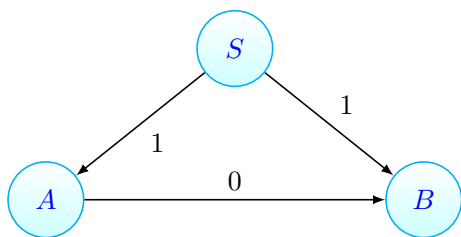
```

Exercise 24.3-7

该图将每条边 $(u, v) \in E$ 替换成 $\omega(u, v)$ 条具有单位权重的边，于是边数 $|E'| = \sum_{(u,v) \in E} \omega(u, v)$ ，因此结点个数变为 $|V'| = \sum_{(u,v) \in E} \omega(u, v) - 1$ 。

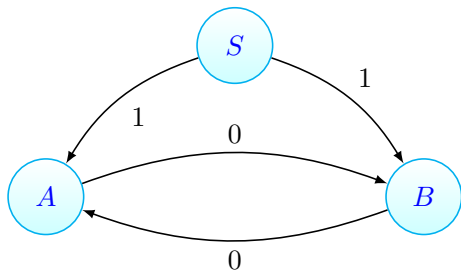
Proof. 由于广度优先搜索不计权重，每次从灰色结点搜与其相邻的白色结点（可以将所有权重视为 1），因此对于 V 中一结点 v_0 ，其相邻的 V 中其他结点与其距离越近，便越早搜索到，便越早涂上黑色；这与 Dijkstra 算法从优先队列中抽取结点的次序是一致的。 \square

Exercise 24.5-2



如图所示，共有 3 棵最短路径树，且三条边 $(S, A), (S, B), (A, B)$ 都存在最短路径树包含它，也存在最短路径树不包含它，满足题意。

Exercise 24.5-5



与此同时，设定 $A.\pi = B$ ，且 $B.\pi = A$ ，于是 G_π 中形成了一条环路。

Exercise 24-2

a.

Proof. 假设盒子 x 嵌套于盒子 y 中，盒子 y 嵌套于盒子 z 中，也即存在排列 π ，使得 $x_{\pi(1)} < y_1$ ， $x_{\pi(2)} < y_2$ ， \dots ， $x_{\pi(d)} < y_d$ ，同时存在排列 τ ，使得 $y_{\tau(1)} < z_1$ ， $y_{\tau(2)} < z_2$ ， \dots ， $y_{\tau(d)} < z_d$ ，因此存在一种排列使得 $x_{\pi(\tau(1))} < z_1$ ， $x_{\pi(\tau(2))} < z_2$ ， \dots ， $x_{\pi(\tau(d))} < z_d$ 。所以嵌套关系是传递的。 \square

b.

盒子 x 嵌套于盒子 y (*) 的充要条件为：按非递减序排列的 x 各元素在各个位上都比 y 非递减序排列的 y 各元素小。(**)

Proof. 若满足 (**)，则将非递减序中的 x 与 y 各元素两两配对，并使 y 恢复先前次序，同时根据配对改变 x 的次序，便存在使之成立的一种排列；若满足 (*)，则存在一个排列 π ，使得 $x_{\pi(1)} < y_1$ ， $x_{\pi(2)} < y_2$ ， \dots ， $x_{\pi(d)} < y_d$ ，则 x 中的最小值必小于 y 中的最小值（否则与 (*) 矛盾），同理 x 中第 n 小值小于 y 中第 n 小值，于是得到了 (**); \square

Algorithm 5 JUDGE-NESTED(x, y, d)

```

1: sort  $x, y$  in increasing sequence
2: for  $i = 1$  to  $d$  do
3:   if  $x_i > y_i$  then
4:     return false
5:   end if
6: end for
7: return true

```

这个算法总时间为 $O(d \lg d)$ 。

c.

Algorithm 6 LONGEST-SEQUENCE(G, n, d)

```

1: for each pair( $B_i, B_j$ ) in  $G$  do
2:   if JUDGE-NESTED( $B_i, B_j, d$ ) then
3:     add  $B_j$  to  $G.Adj[B_i]$ 
4:   end if
5: end for
6:  $H = \emptyset, dis = -\infty$ 
7: for each vertex  $s$  in  $G$  do
8:    $H_1 = \emptyset$ 
9:   for each vertex  $u \in G.V - \{s\}$  do
10:     $u.color = WHITE, u.d = \infty, u.\pi = NIL$ 
11:   end for
12:    $s.color = GRAY, s.d = 0, s.\pi = NIL, Q = \emptyset$ 
13:   ENQUEUE( $Q, s$ )
14:   while  $Q \neq \infty$  do
15:      $u = DEQUEUE(Q)$ 
16:     for each  $v \in G.Adj[u]$  do
17:       if  $v.color == WHITE$  then
18:          $v.d = u.d + 1, v.\pi = u$ 
19:         ENQUEUE( $Q, v$ )
20:       end if
21:     end for
22:   end while
23:   record  $u.\pi$  until  $s$  into  $H_1$ 
24:   if  $u.d > dis$  then
25:      $dis = u.d, H = H_1$ 
26:   end if
27: end for
28: return  $H$ 

```

Exercise 24-3**a.**

可作出如下转化:

$$R[i_1, i_2] \bullet R[i_2, i_3] \bullet \cdots \bullet R[i_{k-1}, i_k] \bullet R[i_k, i_1] > 1$$

$$\ln(R[i_1, i_2]) + \ln(R[i_2, i_3]) + \cdots + \ln(R[i_{k-1}, i_k]) + \ln(R[i_k, i_1]) > 0$$

$$- \ln(R[i_1, i_2]) - \ln(R[i_2, i_3]) - \cdots - \ln(R[i_{k-1}, i_k]) - \ln(R[i_k, i_1]) < 0$$

我们可以通过 BELLMAN-FORD 算法来检验是否存在负权重的环, 因为, 从这个不等式可以看出: 图中有负权重的环等价于存在不等式对应的这种套利情况。

由于 BELLMAN-FORD 算法的运行时间为 $O(VE)$, 所以该算法的运行时间为 $O(VE)$ 。

b.

首先用 a 中的算法来判断是否存在的一种序列, 如果不存在, 无需打印; 如果存在, 则需要进一步打印其中的一种序列。关键在于找出图中的负权重的环。首先调用 BELLMAN-FORD 算法, 同时记录每一个结点的 d 值; 然后再 relax 每个结点足够多次, 若某结点的 d 值仍然在减少, 则其属于某一个负权重的环。将这些 d 值为 $-\infty$ 的结点标记, 找出它们其中的一个连通图, 便是这样的一个序列。